



第10章 小波变换导论

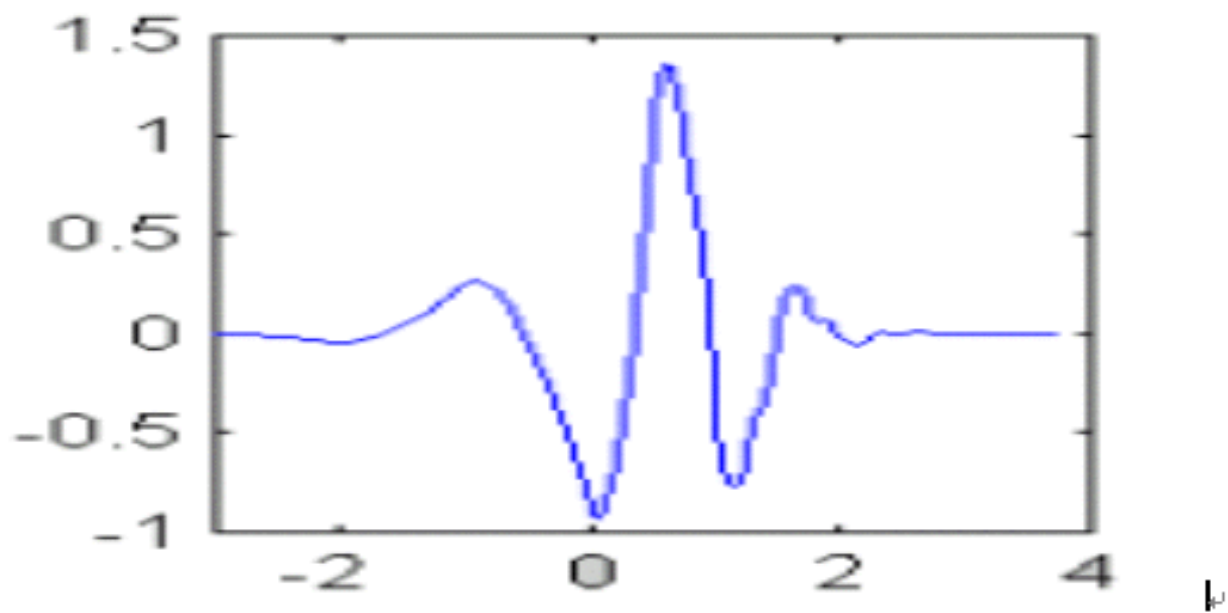
连续小波变换 (**Continuous wavelet transform**)

定义：设 $x(t)$ 是平方可积函数（记作 $x(t) \in L^2(R)$ ）， $\psi(t)$ 是被称为基本小波或母小波的函数，则

$$WT_x(a, b) = \frac{1}{\sqrt{a}} \int x(t) \psi^* \left(\frac{t-b}{a} \right) dt = \langle x(t), \psi_{ab}(t) \rangle$$

称为 $x(t)$ 的小波变换，式中 $a > 0$ 是尺度因子， b 是位移， $b \in R$ ，其中

$$\psi_{ab}(t) \triangleq \frac{1}{\sqrt{a}} \psi \left(\frac{t-b}{a} \right)$$



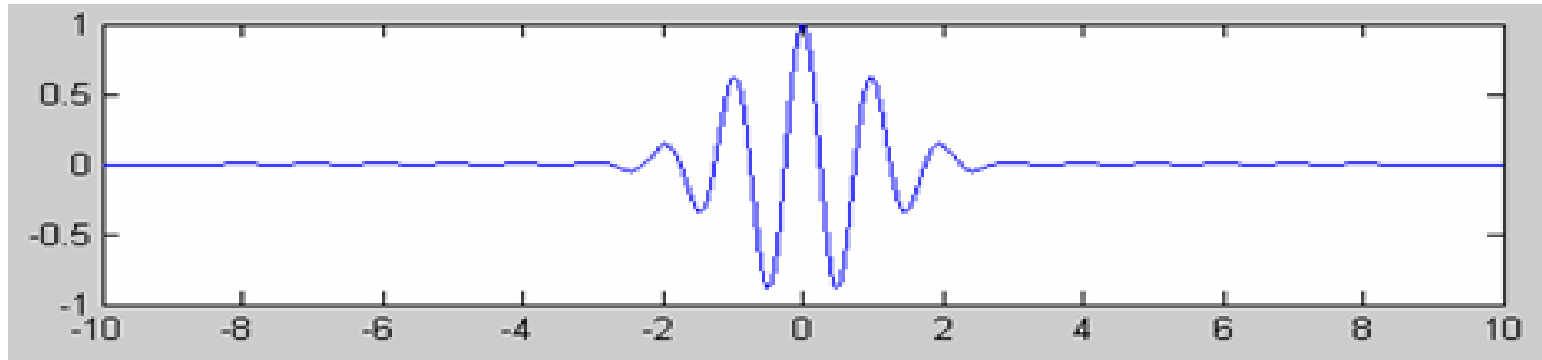
实小波的例子

(1) 基本小波 $\psi(t)$ 可能是复信号或实信号，在复信号时，一般是

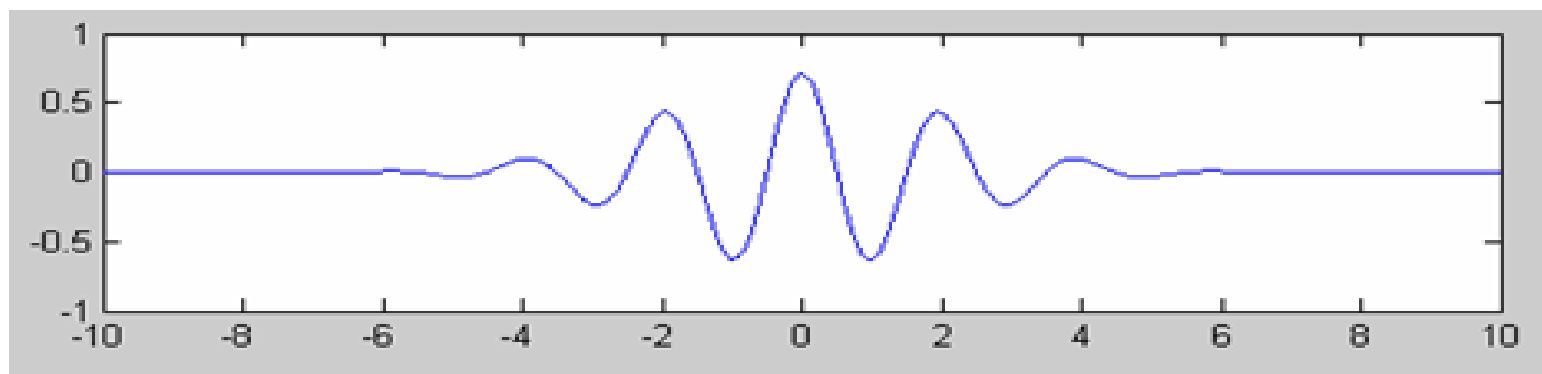
解析信号，例如 $\psi(t) = e^{-\frac{t^2}{T}} \cdot e^{j\omega_0 t}$ ，称为 Morlet 小波，它是高斯包络下的复指数函数。

(2) 尺度因子 a 的作用是将基本小波作伸缩， a 越大， $\psi(\frac{t}{a})$ 愈宽， a 越小， $\psi(\frac{t}{a})$ 越窄， $\frac{1}{a}$ 与角频率 ω 等价。改变 a ，改变小波变换的分析区间。

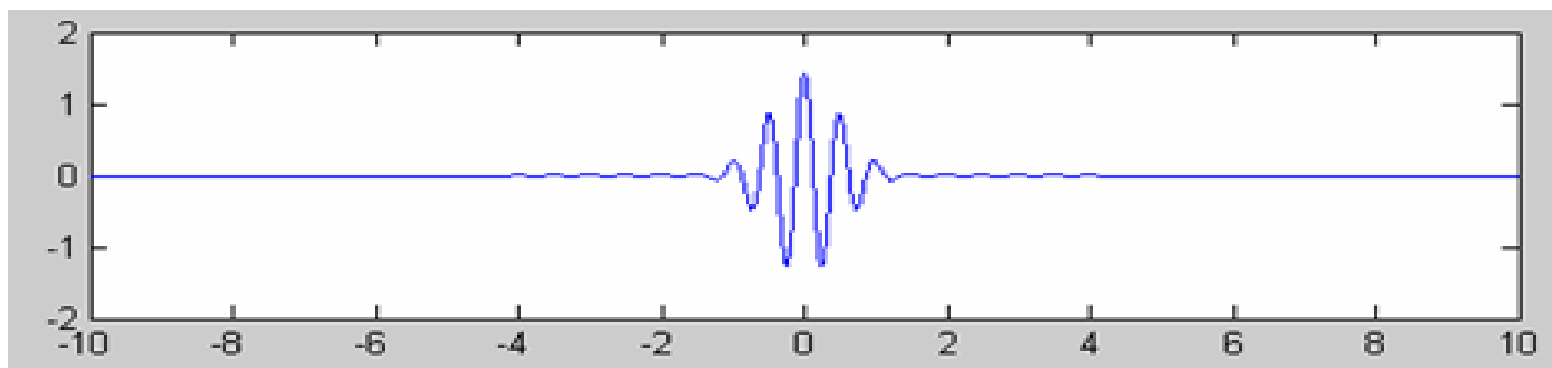
(3) $\psi_{ab}(t)$ 前加因子 $\frac{1}{\sqrt{a}}$ 的目的是使不同 a 值下 $\psi_{ab}(t)$ 的能量保持相等。



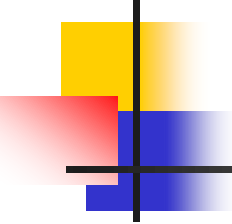
(a) $\psi_{a,b}(t), \alpha=1, b=0+$



(b) $\psi_{a,b}(t), \alpha=2, b=0+$



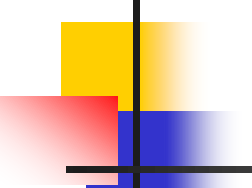
(c) $\psi_{a,b}(t), \alpha=1/2, b=0+$



(4) 注意到, $\psi(\frac{t}{a})$ 的付里叶变换为 $|a| \hat{\Psi}(a\omega)$

(5) 小波变换的等效频域表示: ↵

$$WT_x(a, b) = \frac{\sqrt{a}}{2\pi} \int \hat{x}(\omega) \hat{\psi}^*(a\omega) e^{j\omega b} d\omega$$

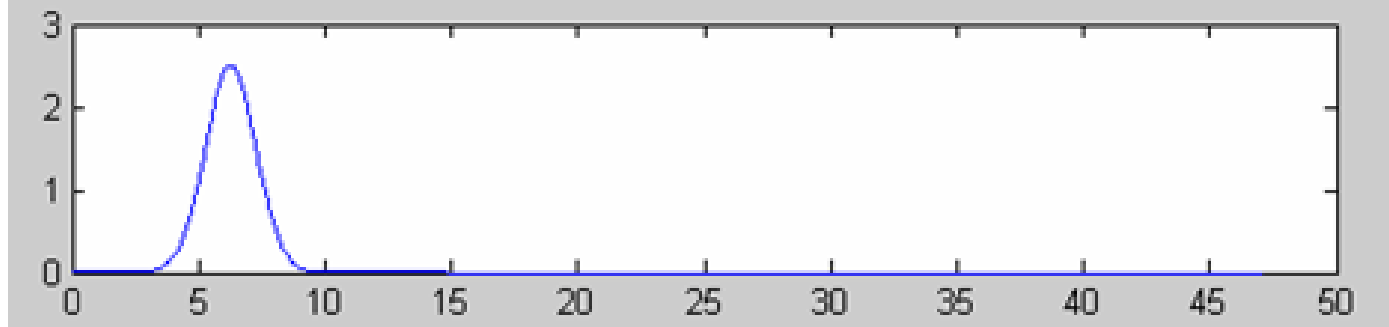


6) 如果 $\psi(t)$ 是幅频特性比较集中的带通函数，则小波变换便具有表征待分析信号 $x(\omega)$ 频域上局部性质能力，改变 a 的值，可以分析 $x(\omega)$ 不同频域区间的性质。

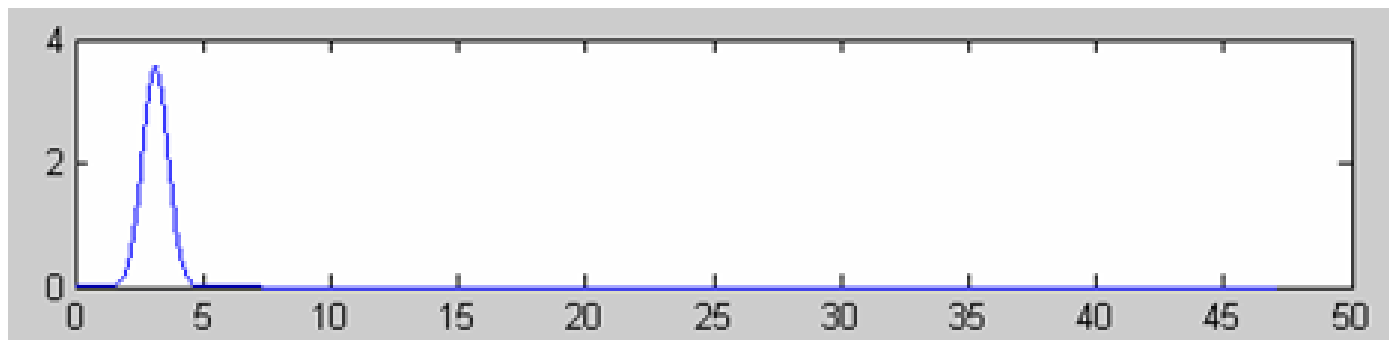
设 $\hat{\psi}(\omega)$ 在 ω_0 为中心的窄带内， $\hat{\psi}(\omega) = s(\omega - \omega_0)$ ，则

$$\hat{\psi}(a\omega) = s\left[a\left(\omega - \frac{\omega_0}{a}\right)\right] \text{ 中心在 } \frac{\omega_0}{a}。$$

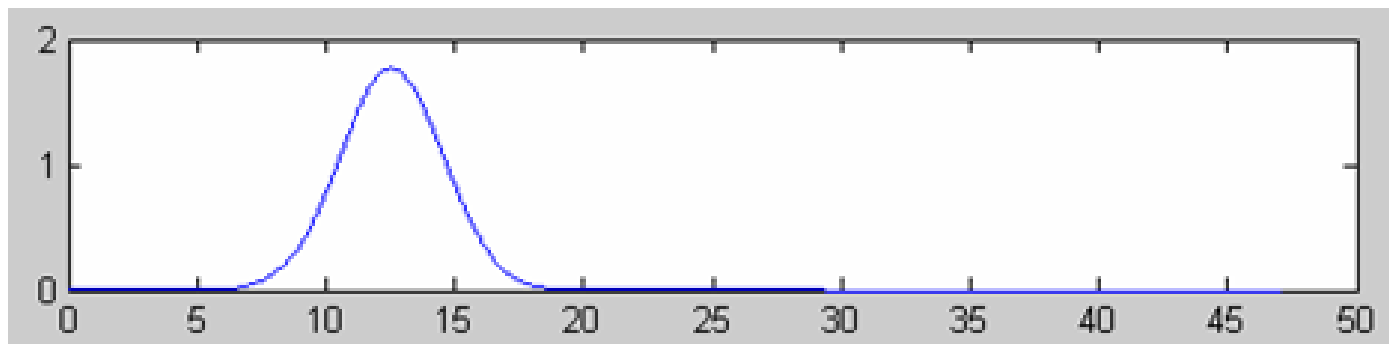
7) 采用不同 a 值作处理时，各 $\hat{\psi}(a\omega)$ 的中心频率和带宽都不相同，但品质因数 Q 不变（ $Q = \text{中心频率} / \text{带宽}$ ）。



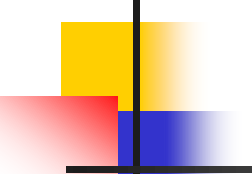
(a) $\hat{\psi}_{ab}(\omega), a=1, b=0+$



(b) $\hat{\psi}_{ab}(\omega), a=2, b=0+$



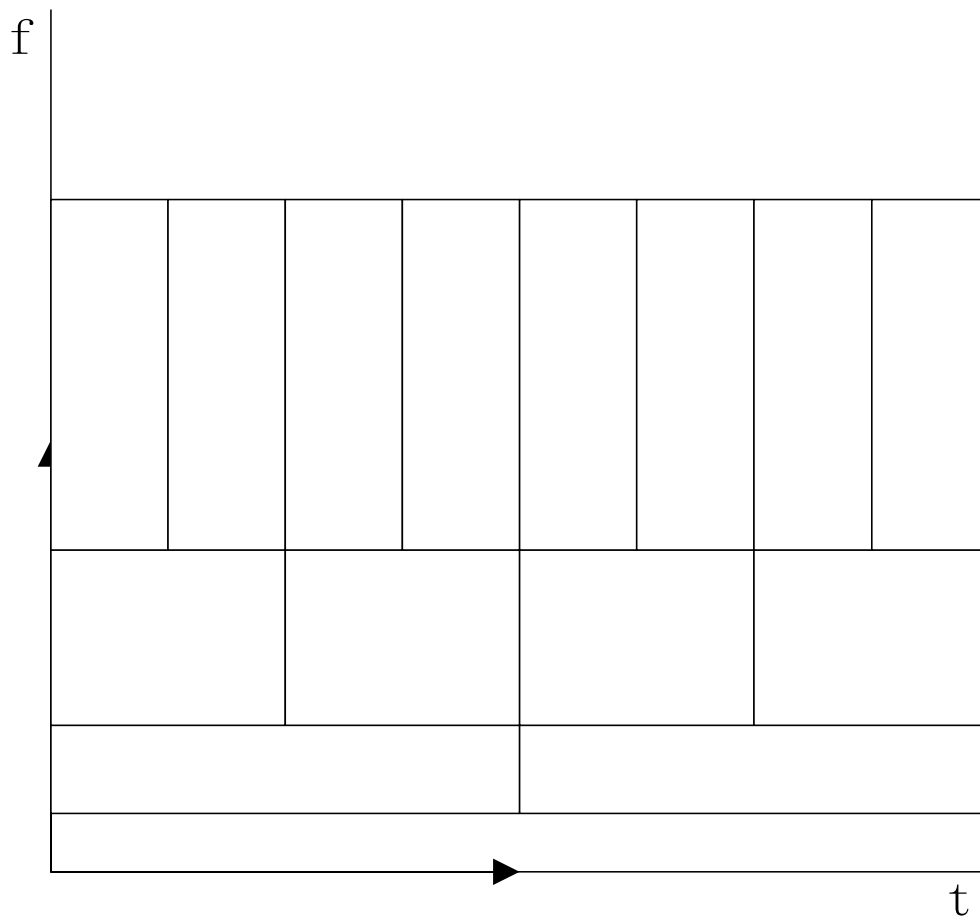
(c) $\hat{\psi}_{ab}(\omega), a=1/2, b=0+$

- 
- a 增加, ω 降低, $\psi(\frac{t}{a})$ 展宽, 时域窗变宽, 观测更长时间区间,
 $\hat{\psi}(a\omega)$ 变窄, 观测更窄的频域窗, 且频率中心向低频移动。
对于低频部分, 对时间看得粗些, 对频域看得仔细一些。↵

- a 减小, ω 增大, $\psi(\frac{t}{a})$ 变窄, 时域窗变窄, 观测更短时间区间。
 $\hat{\psi}(a\omega)$ 变宽, 观测更宽的频域窗, 且中心频率向高频方向移动。
对于高频部分, 对时间域看得细一些, 对频域看得粗些。↵

这是数学显微镜的能力。

小波变换时一频局域性示意图





小波变换的内积定理_↵

设_↵

$$x_1(t) \rightarrow WT_{x_1}(a, b) = \langle x_1(t), \psi_{ab}(t) \rangle_{\substack{\leftarrow \\ \leftarrow}}$$

$$x_2(t) \rightarrow WT_{x_2}(a, b) = \langle x_2(t), \psi_{ab}(t) \rangle_{\substack{\leftarrow \\ \leftarrow}}$$

则_↵

$$\langle WT_{x_1}(a, b), WT_{x_2}(a, b) \rangle = C_{\psi} \langle x_1(t), x_2(t) \rangle$$

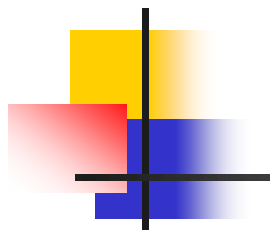
式中_↵

$$C_{\psi} = \int_0^{\infty} \frac{|\hat{\psi}(\omega)|^2}{\omega} d\omega_{\substack{\leftarrow \\ \leftarrow}}$$



注意，两变量内积写成：

$$\begin{aligned} \langle WT_{x_1}(a, b), WT_{x_2}(a, b) \rangle &= \\ &= \int_0^{+\infty} \int_{-\infty}^{+\infty} WT_{x_1}(a, b) \cdot WT_{x_2}^*(a, b) \frac{1}{a^2} da db = \\ &= \int_0^{\infty} \frac{da}{a^2} \cdot \int \langle x_1(t), \psi_{ab}(t) \rangle \langle \psi_{ab}(t), x_2(t) \rangle db = \\ &= C_{\psi} \int x_1(t) x_2^*(t) dt \end{aligned}$$



$$C_{\psi} = \int \frac{|\hat{\psi}(\omega)|^2}{\omega} d\omega < \infty$$

称为容许条件，

推论：

$$\hat{\psi}(\omega)|_{\omega=0} = 0$$

和

$$\int \psi(t) dt = 0,$$

$\psi(t)$ 是振荡的小波。



小波反变换


在小波内积定理中，取 $x_1(t)=x(t)$ ， $x_2(t)=\delta(t-t')$ 得：

$$x(t) = \frac{1}{C_\psi} \int_0^\infty \frac{da}{a^2} \int_{-\infty}^{+\infty} WT_x(a, b) \frac{1}{\sqrt{a}} \psi\left(\frac{t-b}{a}\right) db$$

小波能量公式：

取 $x_1(t)=x(t)$ ， $x_2(t)=x(t)$

$$\int_0^\infty \frac{da}{a^2} \int_{-\infty}^{+\infty} |WT_x(a, b)|^2 db = C_\psi \int_{-\infty}^{+\infty} |x(t)|^2 dt$$



再生核方程

$x(t)$ 的小波变换满足如下式:

$$WT_x(a_0, b_0) = \int_0^\infty \frac{da}{a^2} \int_{-\infty}^{+\infty} WT_x(a, b) k_\psi(a_0, b_0, a, b) db$$

上式中: $K_\psi(a_0, b_0, a, b) = \frac{1}{C_\psi} \int \psi_{ab}(t) \psi_{a_0 b_0}^*(t) dt$

$$= \frac{1}{C_\psi} \langle \psi_{ab}(t), \psi_{a_0 b_0}(t) \rangle$$

为再生核

几个常见小波

(1) Morlet 小波

$$\psi(t) = e^{-\frac{t^2}{2}} e^{j\omega_0 t} \quad \hat{\psi}(\omega) = \sqrt{2\pi} e^{-\frac{(\omega - \omega_0)^2}{2}}$$

不严格满足允许性条件, 近似满足

更一般的, 一个能量归一化的小波, 也称为 Gabor 小波

$$\psi(t) = g(t) e^{j\omega_0 t} \quad g(t) = \frac{1}{(\sigma^2 \pi)^{1/4}} e^{-\frac{t^2}{2\sigma^2}}$$

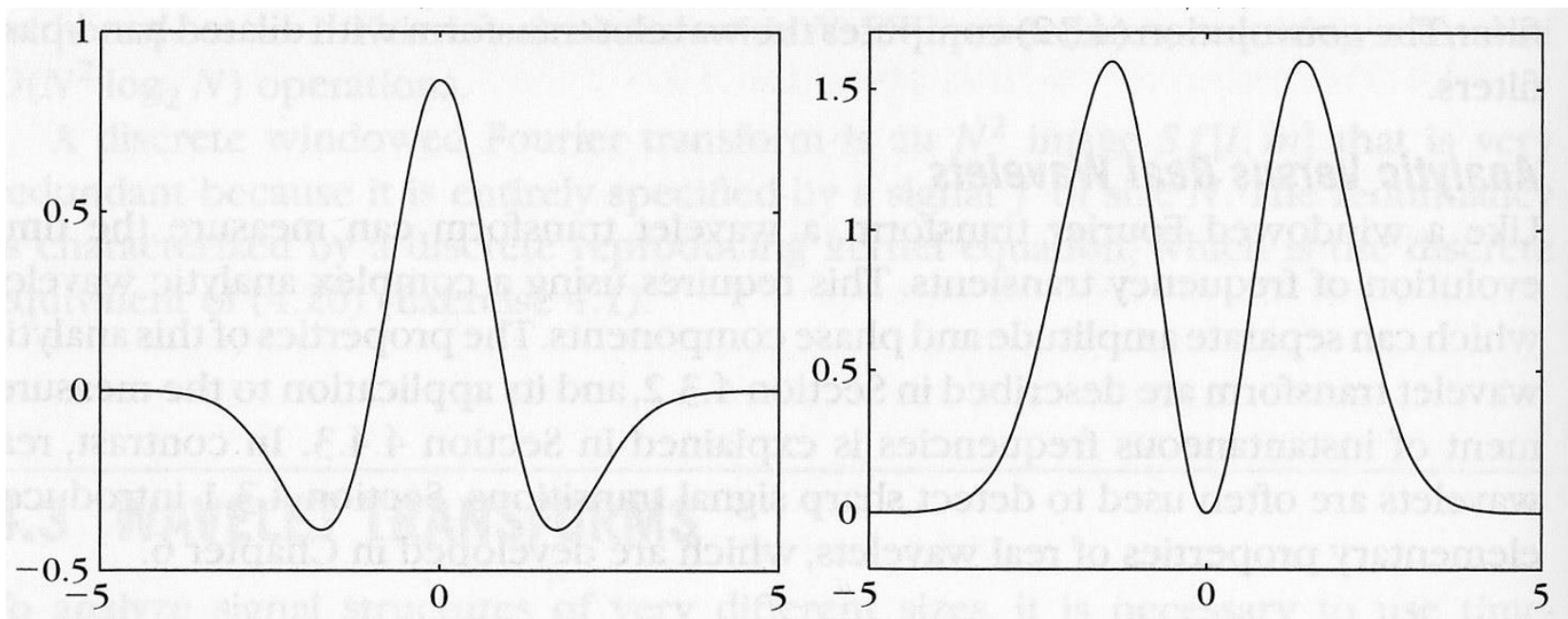
$$\hat{\psi}(\omega) = (4\pi\sigma^2)^{1/4} e^{-\frac{\sigma^2(\omega - \omega_0)^2}{2}}$$

(2) Marr 小波

高斯函数二阶导数

$$\psi(t) = (1 - t^2)e^{-\frac{t^2}{2}} \quad \hat{\psi}(\omega) = \sqrt{2\pi}\omega^2 e^{-\frac{\omega^2}{2}}$$

$\hat{\psi}(\omega)$ 在原点有两阶零点，用于边缘检测。





(3) Harr 小波

$$\psi(t) = \begin{cases} 1 & 0 \leq t < \frac{1}{2} \\ -1 & \frac{1}{2} \leq t < 1 \end{cases}$$

满足正交条件: *

$$\langle \psi(t), \psi(2^j t) \rangle = 0, \quad \langle \psi(t), \psi(t-k) \rangle = 0$$

且 $\hat{\psi}(\omega) = j \frac{4}{\omega} \sin^2\left(\frac{\omega}{4}\right) e^{-j\frac{\omega}{2}}$ *

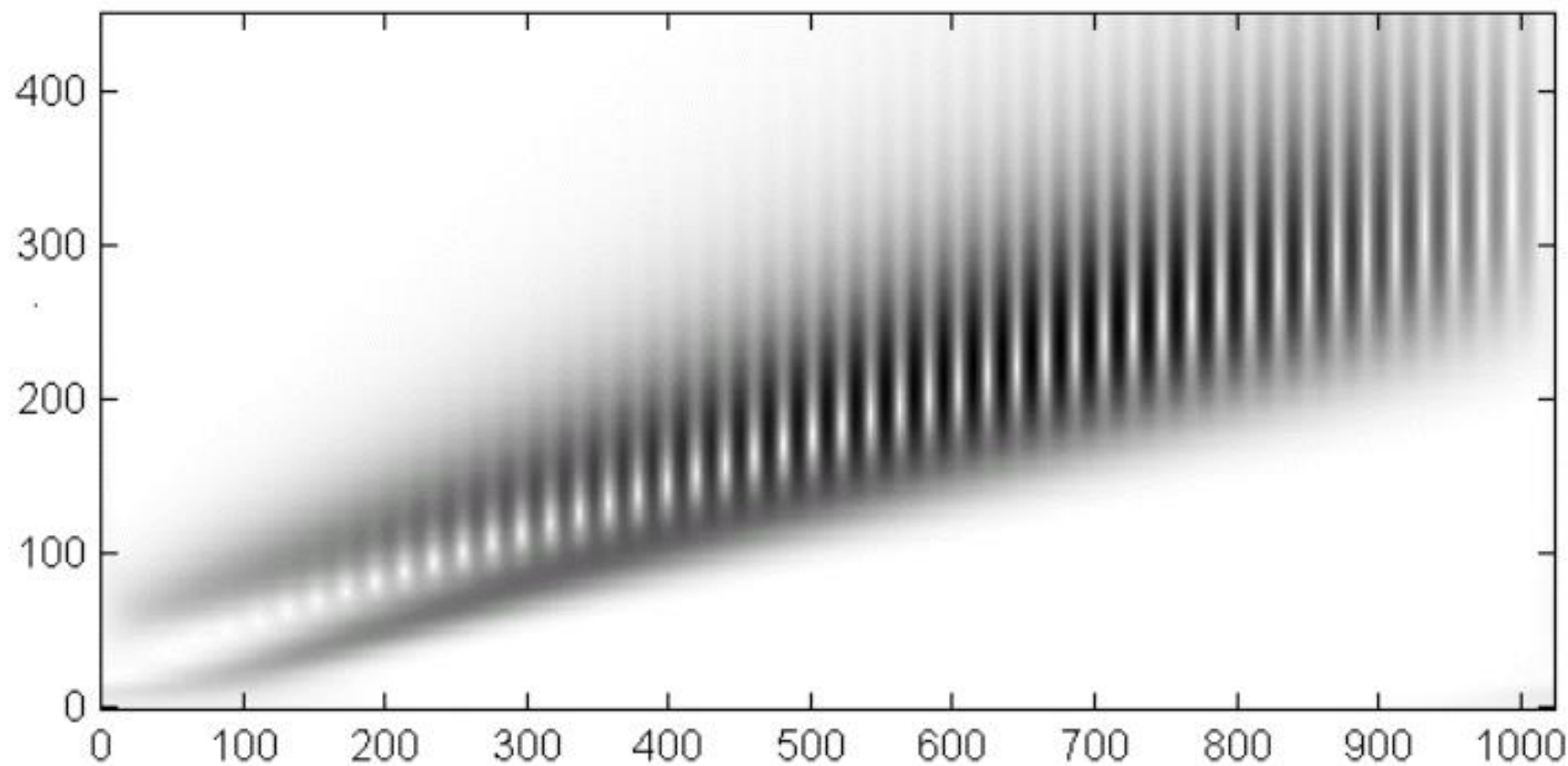
$\hat{\psi}(\omega)$ 在 origin 仅有一阶零点。 *



(4) Daubechies小波族

小波族由满足一定条件的滤波器，迭代逼近一个小波

例



两个线性调制信号的连续小波变换。



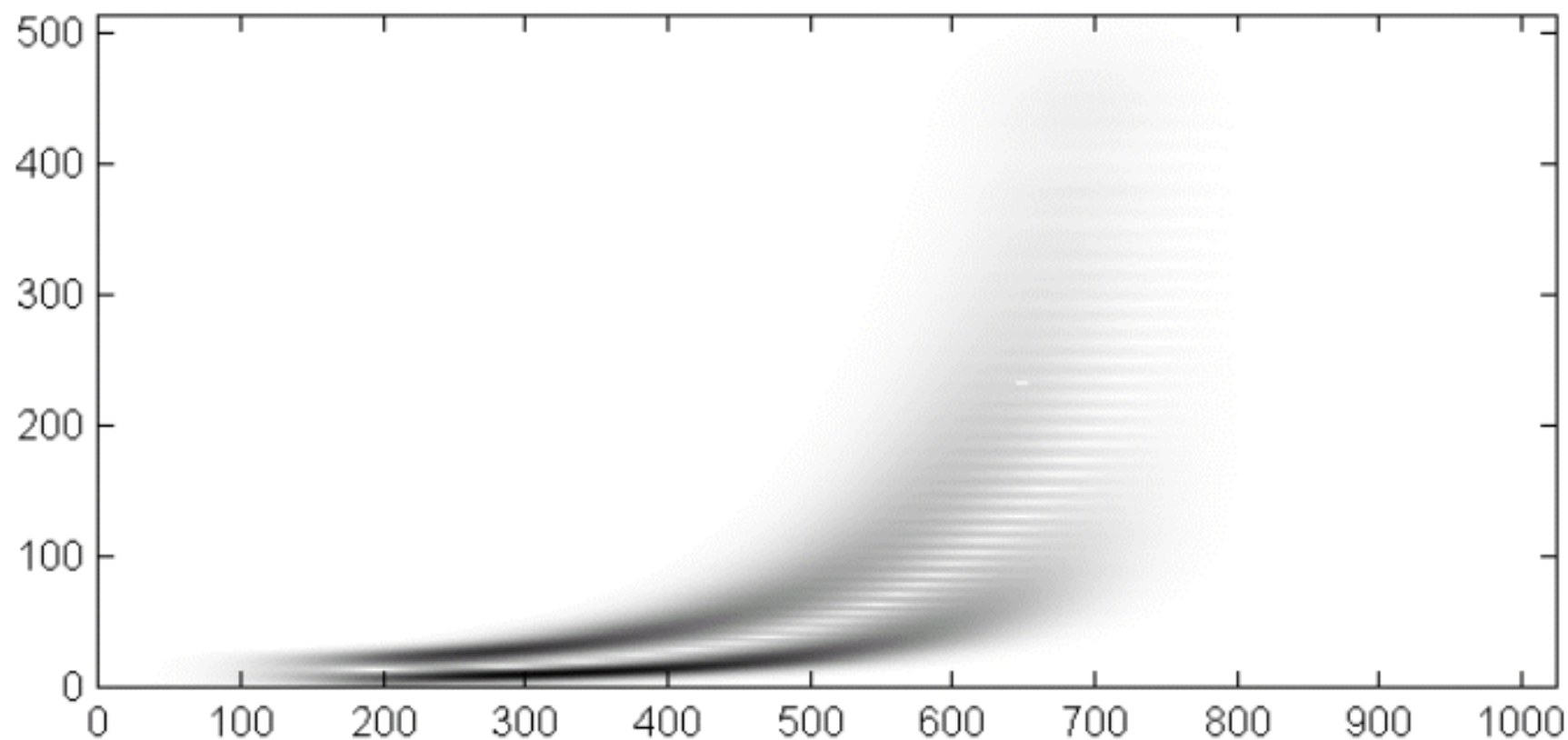
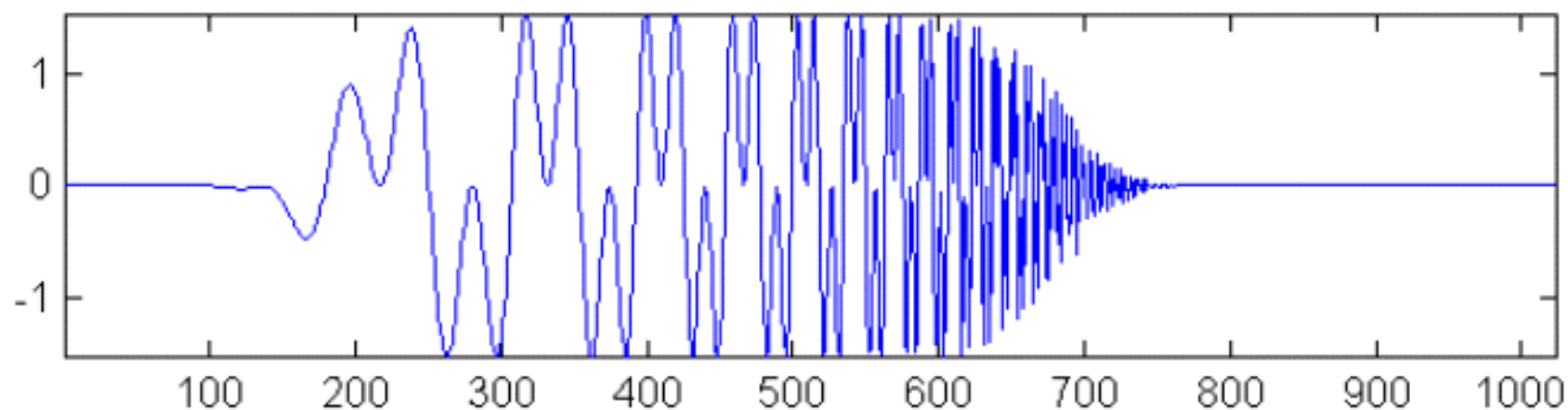
例：两个超调制信号（hyperbolic chirp）构成，即，

$$f(t) = a_1 \cos\left(\frac{\alpha_1}{\beta_1 - t}\right) + a_2 \cos\left(\frac{\alpha_2}{\beta_2 - t}\right)$$

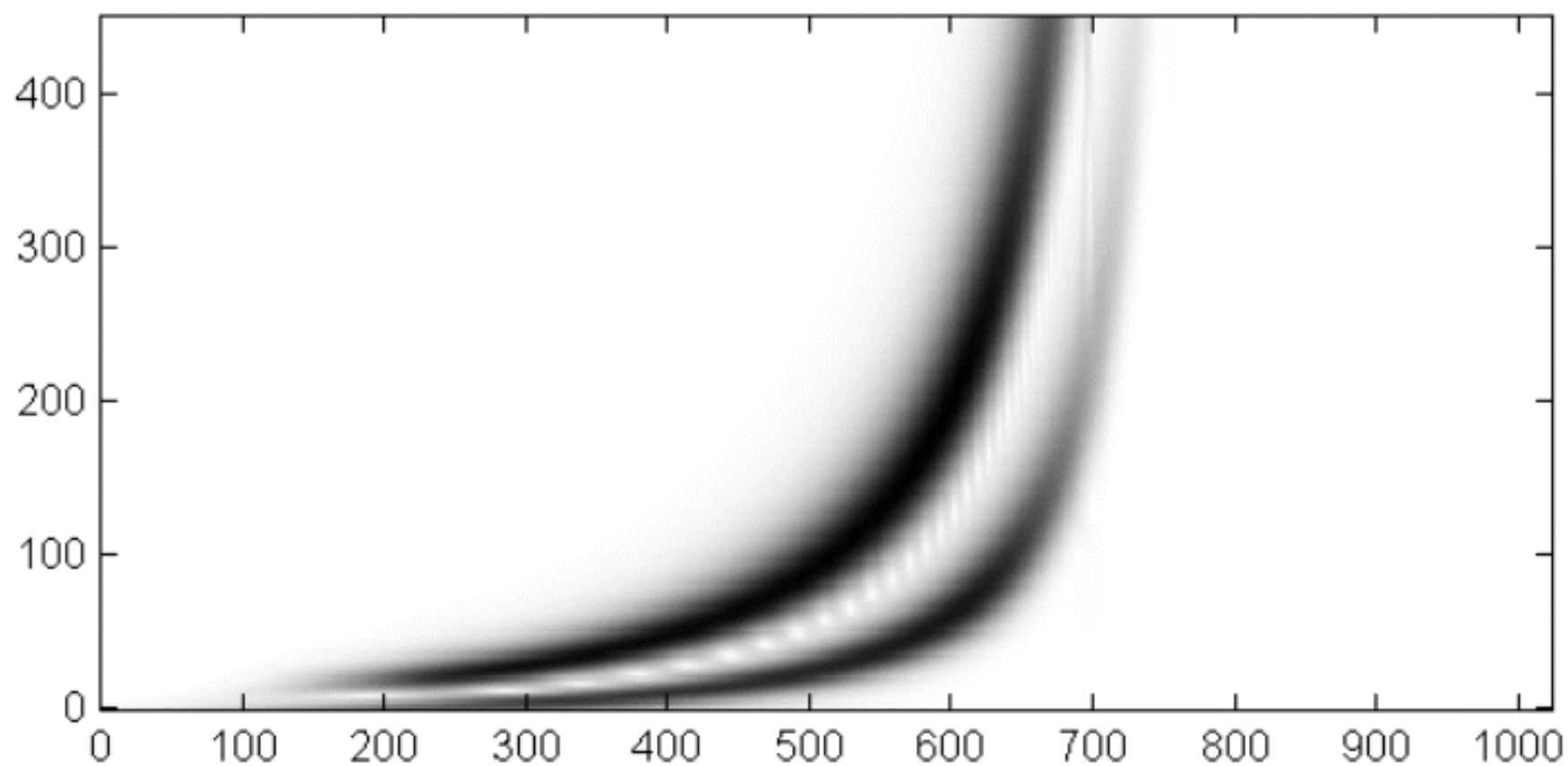
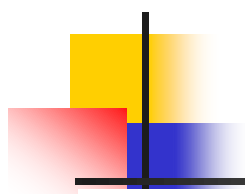
其中 $\beta_1 = 0.68$, $\beta_2 = 0.72$ 。

它们的瞬时频率分别为，

$$\omega_1(t) = \frac{\alpha_1}{(\beta_1 - t)^2}, \quad \omega_2(t) = \frac{\alpha_2}{(\beta_2 - t)^2}。$$



超调制信号的短时付里叶变换。



超调制信号的连续小波变换

尺度和位移离散化的小波变换

连续小波存在信息冗余，计算离散的位移和尺度下的小波变换值。

尺度离散化：取 a_0 ，尺度因子 a 只取 a_0 的整数幂，例如： a 仅取：

$$a_0^0 = 1, a_0^{\pm 1}, a_0^{\pm 2}, \dots, a_0^{\pm j} \dots$$

位移离散化：尺度取 $a = a_0^0$ 时，取 $b = b_0$ ，各位移为 kb_0 。

在 $a = a_0^j$ 时，相应取 $b = ka_0^j b_0$ 。

在这些离散位置的小波伸缩平移系构成：

$$\left\{ a_0^{-\frac{j}{2}} \psi(\bar{a}_0^j (t - ka_0^j b_0)) \right\} = \left\{ a_0^{-\frac{j}{2}} \psi(\bar{a}_0^j t - kb_0), \quad \begin{matrix} k \in \mathbb{Z} \\ j \in \mathbb{Z} \end{matrix} \right\}$$

用 CWT 公式得到在离散尺度和位移处的小波变换:

$$WT_x(a_0^j, kb_0) = \int x(t) \cdot \psi_{a_0^j, kb_0}^*(t) dt$$

最典型的 a_0, b_0 取值是: $a_0=2, b_0=1$ 得到小波伸缩平移系:

$$\psi_{jk}(t) \triangleq 2^{-\frac{j}{2}} \psi(2^{-j}t - k)$$

和

$$WT_x(j, k) = \langle x(t), \psi_{jk}(t) \rangle$$

问题是: 由 $\{WT_x(a_0^j, kb_0)\}_{j,k \in \mathbb{Z}}$ 能否稳定地重构 $x(t)$ 。

如果函数系 $\{\psi_{jk}(t)\}_{j,k \in \mathbb{Z}}$ 构成一个框架, 通过对偶框架, 可以稳定地重构 $x(t)$

到小波框架的概念和结论：✧

(1) 小波框架定义：当由基本小波 $\psi(t)$ 经伸缩与位移引出的函数族：

$$\left\{ \psi_{j,k}(t) = 2^{-\frac{j}{2}} \psi(2^{-j}t - k), j \in \mathbb{Z}^+, k \in \mathbb{Z} \right\} \quad \text{✧}$$

具有下述性质时，便称它构成一个框架。✧


$$A\|X\|^2 \leq \sum_j \sum_k \left| \langle x, \psi_{jk} \rangle \right|^2 \leq B\|X\|^2 \quad \text{✧}$$

(2) ψ_{jk} 存在对偶函数系 $\tilde{\psi}_{jk}(t)$ 也构成一个标架，其标架的上、✧

下界是 $\psi_{jk}(t)$ 框架上、下界的倒数：✧

$$\frac{1}{B}\|X\|^2 \leq \sum_j \sum_k \left| \langle x, \tilde{\psi}_{jk} \rangle \right|^2 \leq \frac{1}{A}\|X\|^2 \quad \text{✧}$$

(3) 信号重建:



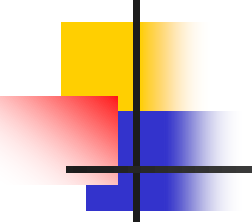
对于紧框架: 有 $\tilde{\psi}_{jk}(t) = \frac{1}{A} \psi_{jk}(t)$

$$x(t) = \frac{1}{A} \sum_j \sum_k \langle x, \psi_{jk} \rangle \cdot \psi_{jk}(t)$$

对一般情况, 当 A 与 B 接近时, 可取

$$\tilde{\psi}_{jk}(t) = \frac{2}{A+B} \psi_{jk}(t)$$


$$x(t) \approx \frac{2}{A+B} \sum_j \sum_k \langle x, \psi_{jk}(t) \rangle \psi_{jk}(t)$$



对一般情况, 由离散采样点的小波系数和对偶框架,
可以重构信号

$$\begin{aligned} x(t) &= \sum_j \sum_k \langle x, \psi_{jk} \rangle \cdot \tilde{\psi}_{jk}(t) = \\ &= \sum_j \sum_k \langle x, \tilde{\psi}_{jk} \rangle \cdot \psi_{jk}(t) \end{aligned}$$

如何由选定的小波函数集构造对偶框架, 已有学者提出了一些算法



(4) 一般紧框架下，存在：↵

$$WT_x(j_0, k_0) = \frac{1}{A} \sum_j \sum_k K_\psi(j_0, k_0; j, k) \cdot WT_x(j, k)$$

这里：↵

$$K_\psi(j_0, k_0; j, k) = \langle \psi_{jk}(t), \psi_{j_0, k_0}(t) \rangle \quad \leftarrow$$

当 $\psi_{jk}(t)$ 与 ψ_{j_0, k_0} 互相交时，即：↵

$$K_\psi(j_0, k_0; j, k) = \delta(j - j_0) \delta(k - k_0), \quad \leftarrow$$

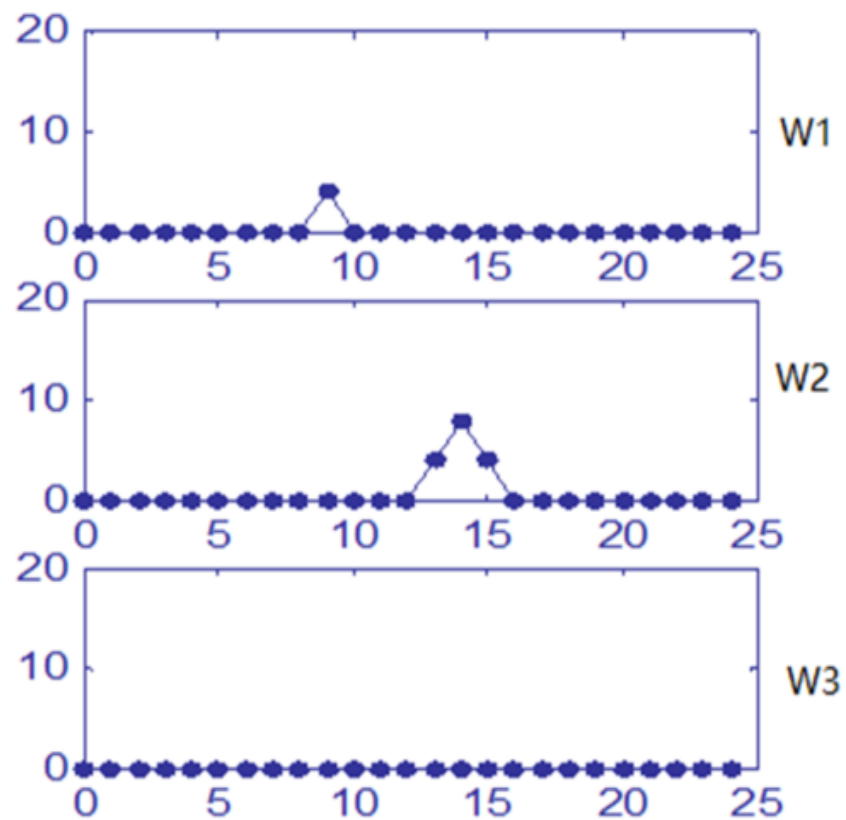
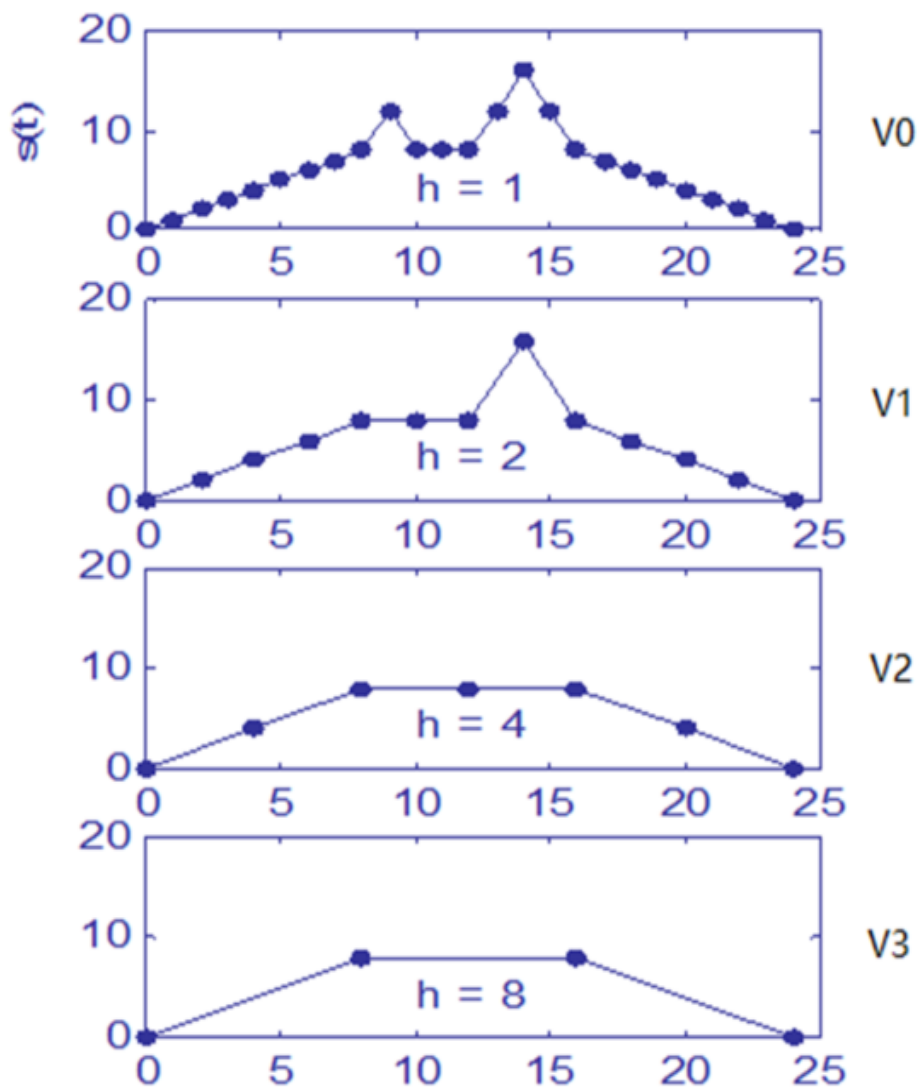
离散尺度和位移下的小波变换没有冗余。↵



多分辨分析和正交小波基

- 由多分辨分析引出构造正交小波基的一般方法。
- 离散尺度和位移小波变换的快速算法（Mallat算法）

多分辨信号表示例



多分辨分析定义:

一个多分辨分析由一个嵌入式闭子空间序列组成, 它们满足:

$$\cdots V_2 \subset V_1 \subset V_0 \subset V_{-1} \subset V_{-2} \cdots$$

并且满足:

(1) 上完整性: $\overline{\bigcup_{m \in \mathbb{Z}} V_m} = L_2(R)$

(2) 下完整性: $\bigcap_{m \in \mathbb{Z}} V_m = \{0\}$

(3) 尺度不变性: $x(t) \in V_m \Leftrightarrow x(2^m t) \in V_0$

(4) 位移不变性: $x(t) \in V_0 \Rightarrow x(t-n) \in V_0 \quad n \in \mathbb{Z}$

(5) 存在一个基 $\varphi \in V_0$, 使得 $\{\varphi(t-n) \mid n \in \mathbb{Z}\}$ 是 V_0 的正交基.

(1) 由于 $V_1 \subset V_0$ ，设 W_1 是 V_1 在 V_0 中的正交补子空间， \hookrightarrow

则 $W_1 \perp V_1$ ，和 $V_1 \oplus W_1 = V_0$ \hookrightarrow

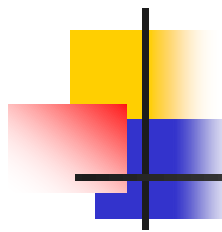
同理可以得到： $V_1 = V_2 \oplus W_2$ ，且 $W_2 \perp W_1 \cdots \cdots$ ，由此构成一组互相正交的子空间 $\cdots, W_2, W_1, W_0, W_{-1}, \cdots$ ，使得 \hookrightarrow

$$\overline{\bigcup_{m \in \mathbb{Z}} W_m} = L_2(\mathbb{R}) \quad \hookrightarrow$$

如果 $\psi(t) \in W_0$ ，且 $\{\psi(t-n), n \in \mathbb{Z}\}$ 构成 W_0 的正交基，则 \hookrightarrow

$$\left\{ \psi_{jk}(t) = 2^{-\frac{j}{2}} \psi(2^{-j}t - k), \quad k \in \mathbb{Z} \right\} \text{ 构成 } \underline{W_j} \text{ 的正交基。} \quad \hookrightarrow$$

$$\left\{ \psi_{jk}(t) = 2^{-\frac{j}{2}} \psi(2^{-j}t - k), \quad j, k \in \mathbb{Z} \right\} \text{ 构成 } L_2(\mathbb{R}) \text{ 的正交基。}$$



(2) 由于 $\{\varphi(t-n), n \in Z\}$ 构成 V_0 的正交基,

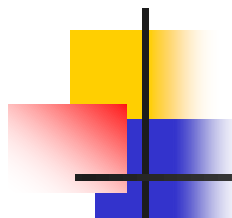
并且, $V_1 \subset V_0$, $W_1 \subset V_0$, 和

$$\varphi\left(\frac{t}{2}\right) \in V_1 \subset V_0, \quad \psi\left(\frac{t}{2}\right) \in W_1 \subset V_0$$

由此, 构成二尺度方程:

$$\varphi\left(\frac{t}{2}\right) = \sqrt{2} \sum_k h_k \cdot \varphi(t-k)$$

$$\psi\left(\frac{t}{2}\right) = \sqrt{2} \sum_k g_k \cdot \varphi(t-k)$$

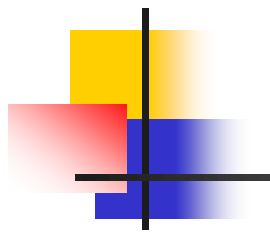


还有以下关系式成立：

(利用 $\varphi(t)$ 能量特性，和 $\psi(t)$ 的积分为零)

$$\sum_k h_k = \sqrt{2}$$

$$\sum_k g_k = 0$$



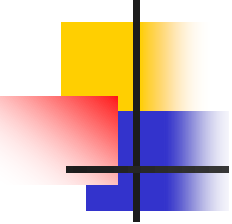
(3) 设

$$\hat{h}(e^{j\omega}) = \sum_k h_k e^{-jk\omega} \triangleq \hat{h}(\omega) \Rightarrow$$

$$\hat{\phi}(\omega) = \frac{1}{\sqrt{2}} \hat{h}\left(\frac{\omega}{2}\right) \hat{\phi}\left(\frac{\omega}{2}\right)$$

$$\hat{g}(e^{j\omega}) = \sum_k g_k e^{-jk\omega} \triangleq \hat{g}(\omega) \Rightarrow$$

$$\hat{\psi}(\omega) = \frac{1}{\sqrt{2}} \hat{g}\left(\frac{\omega}{2}\right) \cdot \hat{\phi}\left(\frac{\omega}{2}\right)$$



由如下关系式：

$$\sum_k |\hat{\phi}(\omega + 2\pi k)|^2 = 1$$

$$\sum_k |\hat{\psi}(\omega + 2\pi k)|^2 = 1$$

$$\sum_k \hat{\phi}(\omega + 2\pi k) \cdot \hat{\psi}^*(\omega + 2k\pi) = 0$$




得一组关系式：

$$\left| \hat{h}(\omega) \right|^2 + \left| \hat{h}(\omega + \pi) \right|^2 = 2$$

$$\left| \hat{g}(\omega) \right|^2 + \left| \hat{g}(\omega + \pi) \right|^2 = 2$$

$$\hat{h}(\omega) \cdot \hat{g}^*(\omega) + \hat{h}(\omega + \pi) \hat{g}^*(\omega + \pi) = 0$$



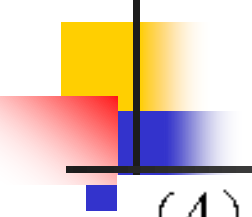
为满足如上等式，两个系统函数间建立了一定的关系，这种关系式的解不是唯一的，其中一个解是：

$$\hat{g}(\omega) = e^{-j\omega} \hat{h}^*(\omega + \pi)$$

即：

$$g(k) = (-1)^{1-k} h(1-k)$$

h 和 g 等价于一个离散滤波器，称为双通道滤波器组，满足如上关系的这些滤波器称为共轭镜象滤波器，相应的滤波器组称为共轭镜象滤波器组。



(4) 由如上讨论, 得到小波母函数的关系式:

$$\text{令 } \hat{h}'(\omega) = \frac{1}{\sqrt{2}} \hat{h}(\omega), \quad \hat{g}'(\omega) = \frac{1}{\sqrt{2}} \hat{g}(\omega)$$

得到:

$$\hat{\phi}(\omega) = \prod_{j=1}^{\infty} \hat{h}'(2^{-j} \omega)$$

$$\hat{\psi}(\omega) = \hat{g}'\left(\frac{\omega}{2}\right) \prod_{j=2}^{\infty} \hat{h}'(2^{-j} \omega)$$



(5) 有限级的空间分解关系: ↵

从 V_0 出发, 经过 J 级分解得: $V_0 = W_1 \oplus W_2 \oplus W_3 \cdots \oplus W_J \oplus V_J$ ↵

设有函数 $x(t)$, 它在 V_0 空间投影, $X_0(t) = P_0 x(t)$ 由一组系数 $a_n^{(0)}$ 构成, 即

$$P_0 x(t) = \sum_n a_n^{(0)} \varphi_{0n}(t) = \sum_n a_n^{(0)} \varphi(t-n) \quad \text{↵}$$

由 $V_0 = V_1 \oplus W_1$, $P_0 x(t) = P_1 x(t) + D_1 x(t)$ ↵

D_1 是 $x(t)$ 在 W_1 上的投影算子。因此, ↵

$$P_0 x(t) = \sum_n a_n^{(0)} \varphi_{0n}(t) = \sum_n a_n^{(1)} \varphi_{1n}(t) + \sum_n d_n^{(1)} \psi_{1n}(t) \quad \text{↵}$$

这个过程可以继续下去，可以将它分解为 $W_1, W_2, \dots, W_J, V_J$ 内的系数集：

$$\{d_k^{(i)}, a_k^{(J)}, i = 1, \dots, J\}$$

由两尺度方程可以证明：分解方程为：

$$a_k^{(1)} = \sum_n h_{(n-2k)} a_n^{(0)}$$

$$d_k^{(1)} = \sum_n g_{(n-2k)} a_n^{(0)}$$

合成方程为：

$$a_n^{(0)} = \sum_k h_{(n-2k)} a_k^{(1)} + \sum_k g_{(n-2k)} d_k^{(1)}$$

这个分解与合成过程可以进行 J 阶，一般分解公式：

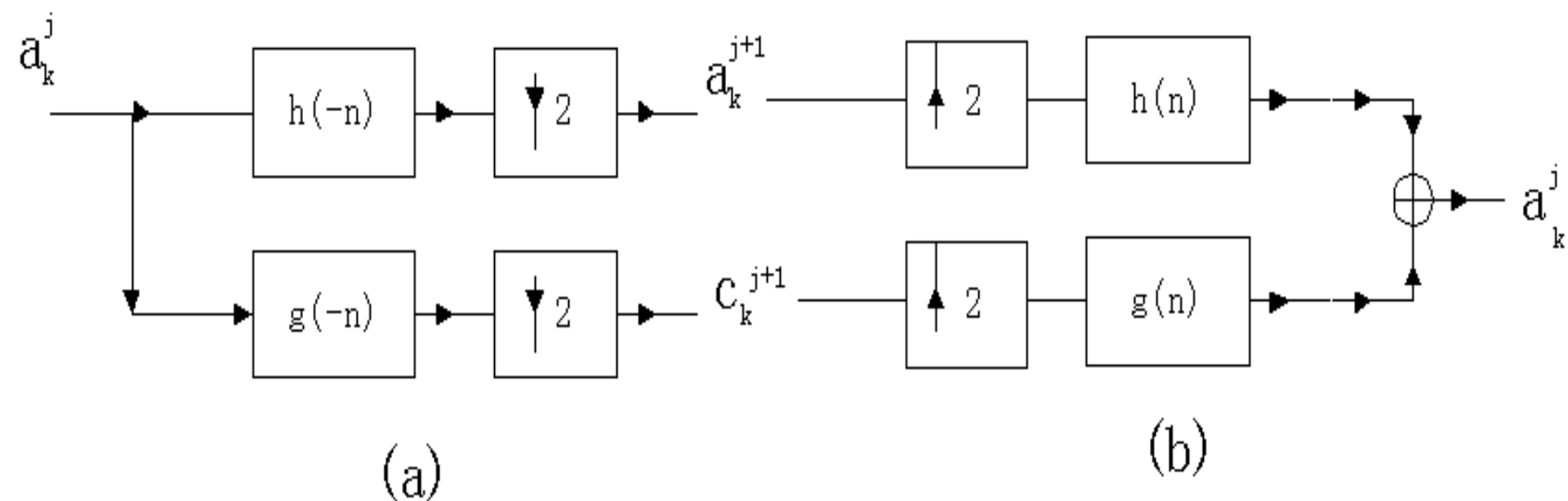
$$\begin{cases} a_k^{(i+1)} = \sum_n h_{(n-2k)} a_n^{(i)} \\ d_k^{(i+1)} = \sum_k g_{(n-2k)} a_n^{(i)} \end{cases}$$

一般合成公式为：

$$a_n^{(i)} = \sum_k h_{(n-2k)} a_k^{(i+1)} + \sum_k g_{(n-2k)} d_k^{(i+1)}$$

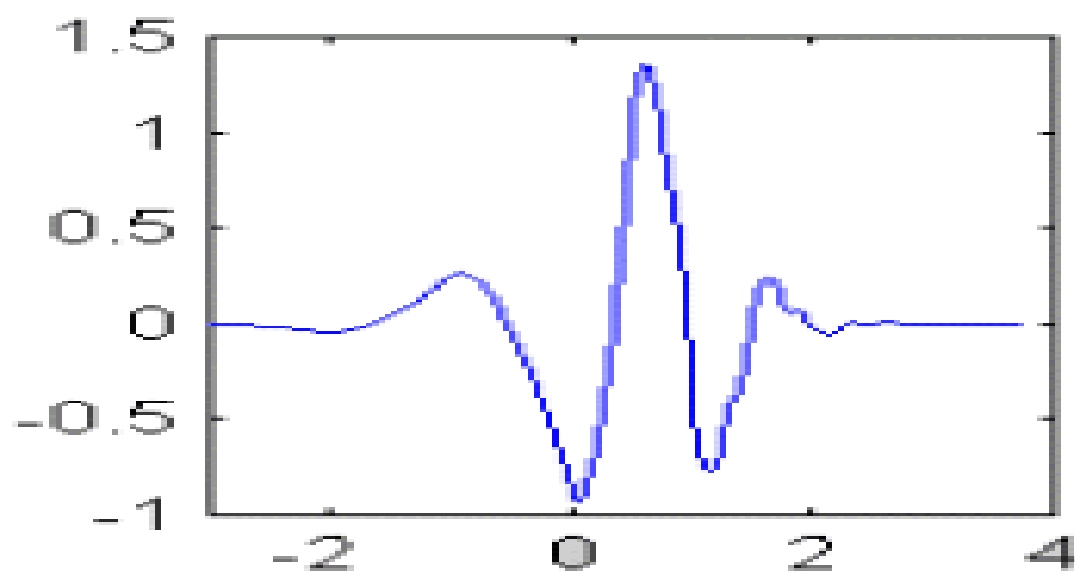
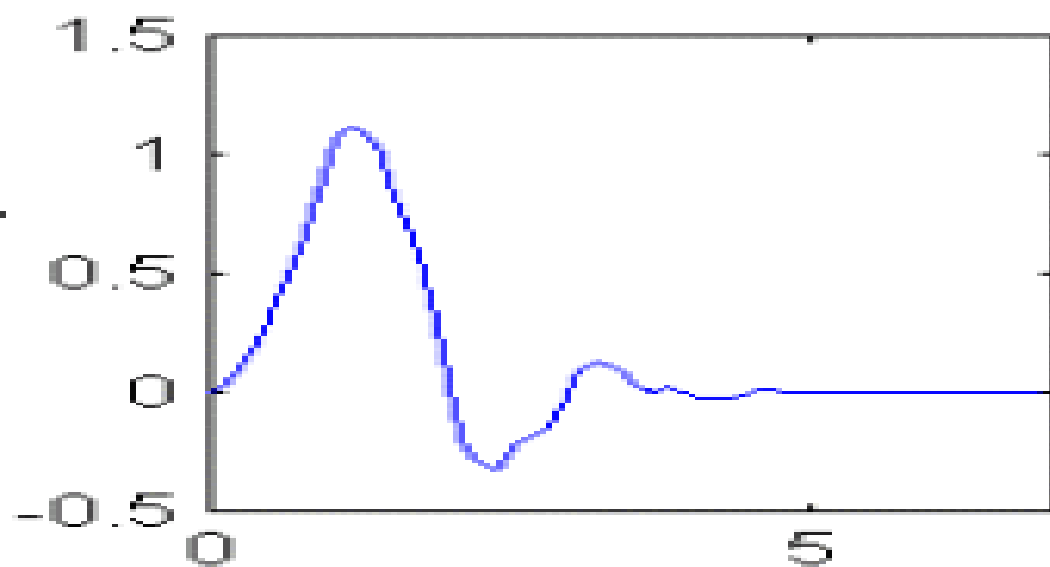
注意到： $d_k^{(i)} = \langle x(t), \psi_{i,k}(t) \rangle$ $a_k^{(J)} = \langle x(t), \varphi_{J,k} \rangle$

$$P_0 x(t) = \sum_{i=1}^J \sum_k d_k^{(i)} \psi_{i,k}(t) + \sum_k a_k^{(J)} \varphi_{J,k}(t)$$



单层小波分解与合成示意图 (a.分解部分 b.合成部分)

例





滤波器系数 $h(n)$, $n=0,1,2,3,4,5,6,7$

.230377813309

.714846570553

.630880767930

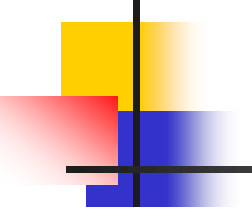
-.027983769417

-.187034811719

.030841381836

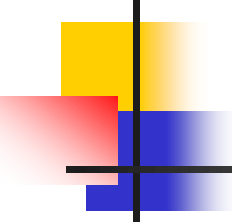
.032883011667

.010597401785



双正交小波变换

- ★正交基与正交子波变换从数学性质上说是最理想的，但是，Daubechies 已经证明，除 Harr 基外，所有正交基都不具有对称性。
- ★希望具有对称性质的子波基，有一类具有双正交性质的小波基具有这个特性，Cohen 和 Daubechies 从数学上构造了具有紧支特性和正则性的对称双正交子波基，Vetterli 和 Herley 从理想重构的滤波器组理论出发构造了对称的双正交子波基。

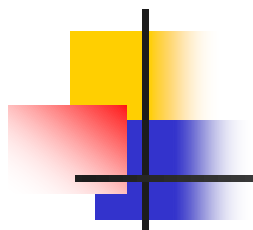


双正交小波基是框架理论的一个特例，
存在两个对偶的母小波

$$\langle \psi_{m,n}, \tilde{\psi}_{m',n'} \rangle = \delta_{mm'} \cdot \delta_{nn'}$$

相应的尺度函数也满足

$$\langle \varphi_{mn}, \tilde{\varphi}_{mn'} \rangle = \delta_{nn'}$$



$$\phi\left(\frac{t}{2}\right) = \sqrt{2} \sum_k h_k \varphi(t - k)$$

$$\psi\left(\frac{t}{2}\right) = \sqrt{2} \sum_k g_k \varphi(t - k)$$

$$\tilde{\phi}(x) = \sqrt{2} \sum_n \tilde{h}_n \tilde{\phi}(2x - n)$$

$$\tilde{\psi}(x) = \sqrt{2} \sum_n \tilde{g}_n \tilde{\phi}(2x - n)$$

滤波器系数 $h, \tilde{h}, g, \tilde{g}$ 施加约束, 使 $\psi(x)$ 和 $\tilde{\psi}(x)$ 构成正交基的一种。

约束条件为:

$$\hat{h}^*(\omega)\hat{\tilde{h}}(\omega) + \hat{h}^*(\omega + \pi)\hat{\tilde{h}}(\omega + \pi) = 2$$

$$g_n = (-1)^{1-n} \tilde{h}_{1-n}, \quad \tilde{g}_n = (-1)^{1-n} h_{1-n}$$

$$\sum_n h_n \tilde{h}_{n+2k} = \delta_{k,0}$$

满足如上关系的滤波器组称为准确重构滤波器, 这组滤波器获得后, 由下式构造尺度函数和小波函数。

双正交时, 小波变换的递推公式仍然成立, 写成如下式:

$$\begin{cases} a_k^{(i+1)} = \sum_n h_{(n-2k)} a_n^{(i)} \\ d_k^{(i+1)} = \sum_k g_{(n-2k)} a_n^{(i)} \end{cases}$$

反递推 (合成) 公式修改为

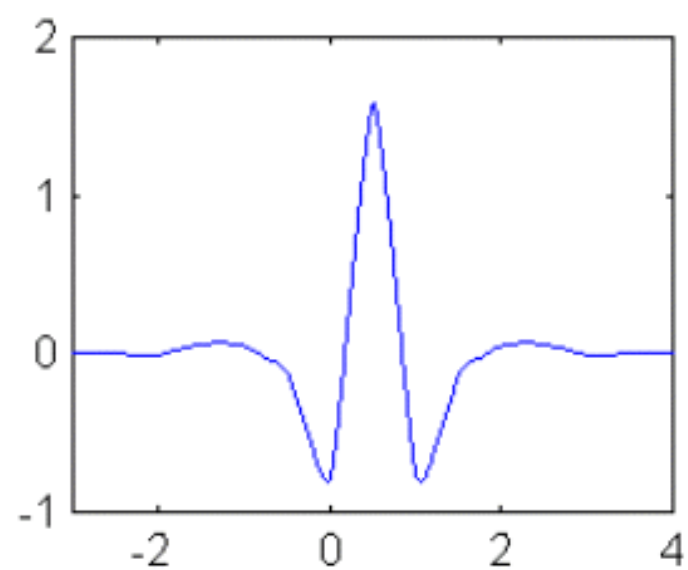
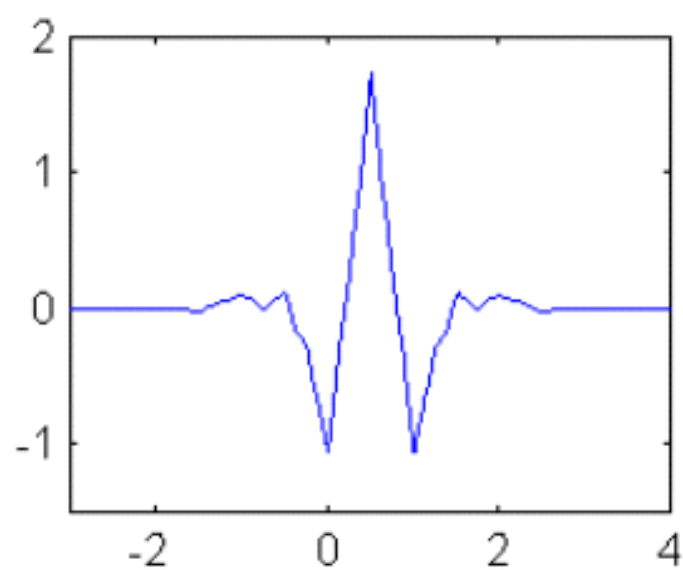
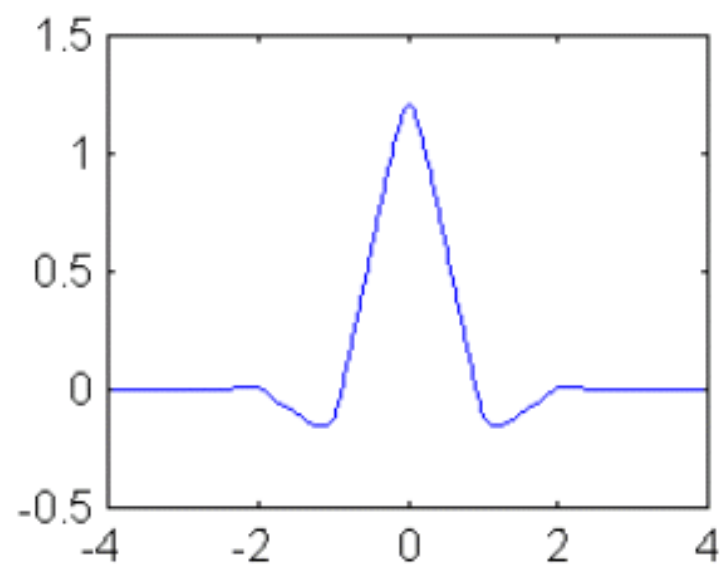
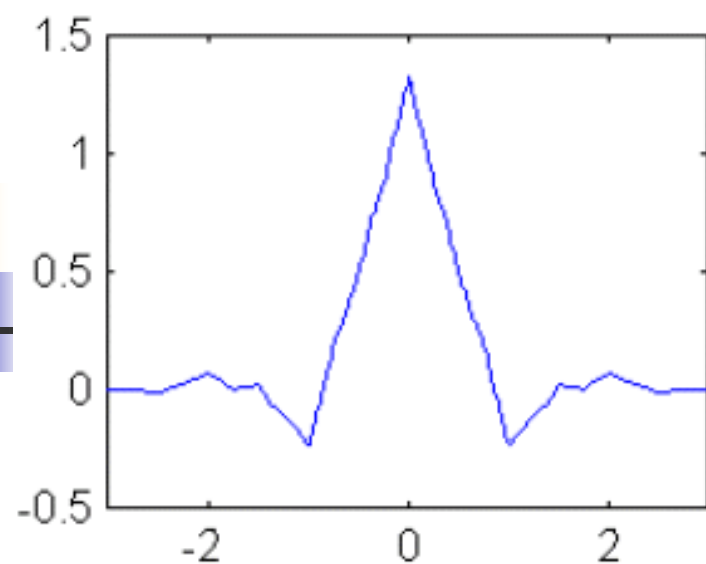
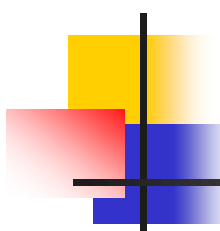
$$a_n^{(j-1)} = \sum_k \left[\tilde{h}_{n-2k} a_k^{(j)} + \tilde{g}_{n-2k} d_k^{(j)} \right]$$

注意, 其实递推和反递推中滤波器组 h, g 和 \tilde{h}, \tilde{g} 是可以互换的, 但必须一个出现在递推中, 另一个出现在反递推中.

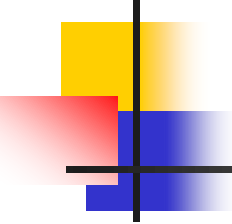


例:

p, \tilde{p}	\underline{n}	$\underline{h}[n]$	$\tilde{h}[n]$
$p = 4$ $\tilde{p} = 4$	0	0.78848561640637	0.85269867900889
	-1,1	0.41809227322204	0.37740285561283
	-2,2	-0.04068941760920	-0.11062440441844
	-3,3	-0.06453888262876	-0.02384946501956
	-4,4	0	0.03782845554969



双正交近似等长小波的尺度函数和小波函数示。



多维空间小波变换

二维可分的多分辨分析是一个嵌套的子空间序列

$$V_m = V_m^1 \otimes V_m^2$$

尺度函数和相应滤波器系数

$$\Phi(x, y) = \varphi(x)\varphi(y), \quad h_{n,m} = h_n h_m$$

两分辨层的关系为

$$V_{m-1} = V_m \oplus (V_m^1 \otimes W_m^2) \oplus (W_m^1 \otimes V_m^2) \oplus (W_m^1 \otimes W_m^2)$$



得到三个小波函数和相应滤波器系数

$$\Psi^1(x, y) = \varphi(x)\psi(y),$$

$$g_{n,m}^1 = h_n g_m$$

$$\Psi^2(x, y) = \psi(x)\varphi(y),$$

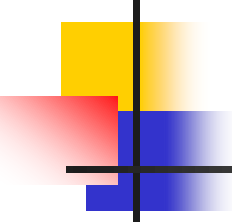
$$g_{n,m}^2 = g_n h_m$$

$$\Psi^3(x, y) = \psi(x)\psi(y),$$

$$g_{n,m}^3 = g_n g_m$$

小波展开式的二维推广为

$$f(x, y) = \sum_d \sum_m \sum_{i,j} \langle f, \Psi_{i,j}^{m,d} \rangle \tilde{\Psi}_{i,j}^{m,d} \triangleq \sum_d \sum_m \sum_{i,j} c_{i,j}^{m,d} \cdot \tilde{\Psi}_{i,j}^{m,d}$$



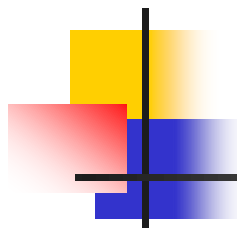
二维离散小波变换系数的递推公式为

$$a_{i,j}^m = \sum_d \sum_m a_{k,l}^{m-1} \cdot h_{2i-k,2j-l} = \sum_k h_{2i-k} \cdot \sum_l a_{k,l}^{m-1} \cdot h_{2j-l}$$

$$c_{i,j}^{m,d} = \sum_k \sum_l a_{k,l}^{m-1} \cdot g_{2i-k,2j-l}^d = \sum_k g_{2i-k}^{i2} \cdot \sum_l a_{k,l}^{m-1} \cdot g_{2j-l}^{i1}, \quad d=1,2,3$$

反递推公式为

$$a_{i,j}^{m-1} = \sum_k \sum_l a_{k,l}^m \cdot \tilde{h}_{2k-i,2l-j} + \sum_{d=1,2,3} \sum_k \sum_l c_{k,l}^{m,d} \cdot \tilde{g}_{2k-i,2l-j}^d$$



LL3↵	LH3↵	LH2↵	HL1↵
HL3↵	HH3↵		
HL2↵		HH2↵	
HL1↵			HH1↵



